

Arithmétique virgule flottante

Jean-Michel Muller
CNRS - Laboratoire LIP
(CNRS-INRIA-ENS Lyon-Université de Lyon)
Ecole PRCN – Mars 2013

<http://perso.ens-lyon.fr/jean-michel.muller/>



Arithmétique virgule flottante

- trop souvent perçue comme un tas de **recettes de cuisine** ;
- beaucoup de “théorèmes” qui sont vrais... souvent ;
- de simples–mais corrects!–modèles tels que le **modèle standard**
en l'absence d'overflow/underflow, la valeur calculée de
 $(a \uparrow b)$ *vaut* $(a \uparrow b) \cdot (1 + \delta)$, $|\delta| \leq 2^{-p}$,

(en base 2, mantisses de p bits et arrondi au plus près) sont très utiles, mais ne permettent pas de capter des comportements subtils, comme dans

$$s = a + b ; z = s - a ; r = b - z$$

et beaucoup d'autres.

- au passage, est-ce que ces “comportements subtils” sont **robustes** ?

Propriétés souhaitables d'une arithmétique machine

- **Vitesse** : la météo de demain doit être calculée en moins de 24 heures ;
- **Précision, dynamique** : par exemple, certaines prédictions de la mécanique quantique et de la relativité générale vérifiées avec erreur relative $\approx 10^{-14}$;
- **"taille"** : surface de circuit, taille du code, consommation mémoire ;
- **Energie consommée** : autonomie, chauffe des circuits ;
- **Portabilité** : les programmes mis au point sur un système doivent pouvoir tourner sur un autre sans requérir des modifications longues et/ou complexes ;
- **Simplicité d'implantation et d'utilisation** : si une arithmétique est trop ésotérique, personne ne l'utilisera.

Les précurseurs

- système babylonien de base 60 ; règle à calcul : Gunter (1681-1626), Oughtred (1575-1660) ;

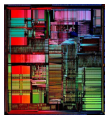


- Leonardo Torres y Quevedo (1914) : implantation électromécanique de la machine de Babbage, avec virgule flottante ;
- Konrad Zuse : Z3 (1941) : base 2, mantisses de 14 bits exposants de 7 bits. Mémoire de 16 nombres. Voir <http://www.epemag.com/zuse/>

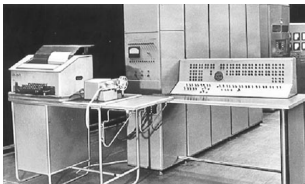


On peut faire du très mauvais travail. . .

- 1994 : bug de la division du Pentium, $8391667/12582905$ donnait $0.666869\dots$ au lieu de $0.666910\dots$;
- Excel, versions 3.0 à 7.0, entrez 1.40737488355328 , vous obtiendrez **0.64**
- Sur certains ordinateurs Cray on pouvait déclencher un overflow en multipliant par 1 ;
- Excel'2007 (premières versions), calculez $65535 - 2^{-37}$, vous obtiendrez **100000** ;



Un peu d'exotisme



- Machine **Setun**, université de Moscou, 1958. 50 exemplaires ;
- base 3 et chiffres $-1, 0$ et 1 . Nombres sur 18 « trits » ;
- idée : base β , nombre de chiffres n , + grand nombre représenté M .
Mesure du « coût » : $\beta \times n$.
- minimiser $\beta \times n$ sachant que $\beta^n \approx M$. Si variables réelles, optimum $\beta = e = 2.718\dots \approx 3$.

Système virgule flottante

$$\text{Paramètres : } \begin{cases} \text{base} & \beta \geq 2 \\ \text{précision} & p \geq 1 \\ \text{exposants extrêmes} & e_{\min}, e_{\max} \end{cases}$$

Un nombre VF fini x est représenté par 2 entiers :

- **mantisse entière** : M , $|M| \leq \beta^p - 1$;
- **exposant** e , $e_{\min} \leq e \leq e_{\max}$.

tels que

$$x = M \times \beta^{e+1-p}$$

On appelle **mantisse réelle**, ou **mantisse** de x le nombre

$$m = M \times \beta^{1-p},$$

ce qui donne $x = m \times \beta^e$, avec $|m| < \beta$.

Représentation normalisée

Buts : représentation unique et algorithmique plus simple.

La représentation **normalisée** de x , est celle qui minimise l'exposant. Si $e > e_{\min}$, donne nécessairement $1 \leq |m| < \beta$ et $\beta^{p-1} \leq |M| \leq \beta^p - 1$.

- Nombre **normal** : de valeur absolue $\geq \beta^{e_{\min}}$.
En base 2 le premier chiffre de mantisse d'un nombre normal est un "1" → pas besoin de le mémoriser.
- Nombre **sous-normal** : de la forme

$$M \times \beta^{e_{\min}+1-p}.$$

avec $|M| \leq \beta^{p-1} - 1$. Le premier chiffre de mantisse d'un nombre sous-normal est un zéro.

Correspond à $\pm 0.xxxxxxxx \times \beta^{e_{\min}}$.

Les sous-normaux compliquent les algorithmes, mais. . .

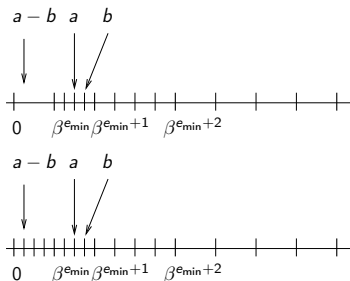


Figure: En haut : nombres VF normaux. Dans cet ensemble, $a - b$ n'est pas représentable \rightarrow le calcul $a - b$ donnera 0 en arrondi au plus près. En bas : on ajoute les sous-normaux.

Système	β	p	e_{\min}	e_{\max}	+ grand représ.
DEC VAX	2	24	-128	126	$1.7 \dots \times 10^{38}$
(D format)	2	56	-128	126	$1.7 \dots \times 10^{38}$
HP 28, 48G	10	12	-500	498	$9.9 \dots \times 10^{498}$
IBM 370	16	6	-65	62	$7.2 \dots \times 10^{75}$
et 3090	16	14	-65	62	$7.2 \dots \times 10^{75}$
IEEE-754 binary32	2	23+1	-126	127	$3.4 \dots \times 10^{38}$
IEEE-754 binary64	2	52+1	-1022	1023	$1.8 \dots \times 10^{308}$
IEEE-754 binary128	2	112+1	-16382	16383	$1.2 \dots \times 10^{4932}$
IEEE-754 decimal32	10	7	-95	96	$9.99 \dots 9 \times 10^{96}$
IEEE-754 decimal64	10	16	-383	384	$9.99 \dots 9 \times 10^{384}$
IEEE-754 decimal128	10	34	-6143	6144	$9.99 \dots 9 \times 10^{6144}$

binary32 = simple précision

binary64 = double précision.

- la norme IEEE 754-1985 a mis fin à une pagaille (très mauvaise portabilité des algorithmes numériques) ;
- leader : W. Kahan (père de l'arithmétique des HP35 et Intel 8087) ;
- formats ;
- spécification des opérations, des conversions, etc. ;
- gestion des *exceptions* ($\max+1$, $1/0$, $\sqrt{-2}$, $0/0$, etc.) ;
- nouvelle révision adoptée en 2008.

Juste quelques mots sur les exceptions dans la norme

- l'utilisateur peut (difficilement, et c'est un euphémisme) définir le comportement du programme dans les cas exceptionnels ;
- philosophie par défaut : **le calcul doit toujours continuer** ;
- le format comporte deux infinis, et deux zéros. Règles intuitives : $1/(+0) = +\infty$, $5 + (-\infty) = -\infty \dots$;
- tout de même un truc bizarre : $\sqrt{-0} = -0$;
- **Not a Number** (NaN) : résultat de $\sqrt{-5}$, $(\pm 0)/(\pm 0)$, $(\pm \infty)/(\pm \infty)$, $(\pm 0) \times (\pm \infty)$, NaN +3, etc.

Juste quelques mots sur les exceptions dans la norme

- en général, se comporte “bien”

$$1 + \frac{3}{x^2}$$

avec x très grand (de sorte que x^2 “dépasse”) $\rightarrow 1$.

- **S'en méfier tout de même.** Comportement pour x grand de

$$\frac{x^2}{\sqrt{x^3 + 1}}$$

- ▶ on devrait obtenir un résultat proche de \sqrt{x} ;
- ▶ si x^3 “dépasse” mais pas x^2 , on obtiendra 0 ;
- ▶ si les 2 dépassent, on obtiendra NaN.

Quelques propriétés des NaN

- se propagent : $x + \text{NaN} = \text{NaN}$. Nécessaire (que faire d'autre ?) mais dangereux (embarqué) ;
- comparaisons : toute comparaison impliquant un NaN retourne faux (sauf une, voir ci-dessous)
 $\rightarrow x \geq y$ n'est pas exactement le contraire de $x < y$.
- si x est un NaN, le test “ $x = x$ ” retourne “faux” et le test “ $x \neq x$ ” retourne “vrai”
 \rightarrow fournit un moyen simple de tester qu'une variable est un NaN ;

Mauvaise gestion des exceptions. . .

- Novembre 1998, navire américain USS Yorktown, on a par erreur tapé un « zéro » sur un clavier → division par 0. Ce problème n'était pas prévu → cascade d'erreurs → arrêt du système de propulsion.



- premier envol. . . et premier plongeon d'Ariane 5



Codages internes des formats binaires de la norme IEEE-754

- **binary32/simple précision** : 32 bits (1 de signe, 8 d'exposant, 23 + 1 de mantisse) ;
- **binary64/double précision** : 64 bits (1 de signe, 11 d'exposant, 52 + 1 de mantisse) ;
- **binary128/quadruple précision** : 128 bits (1 de signe, 15 d'exposant, 112 + 1 de mantisse) ;
- le premier bit de mantisse des normaux est un "1", celui des sous-normaux est un "0" → on ne le mémorise pas ;
- exposant **biaisé** : on représente l'exposant e par l'entier positif $e + b$ (binary32 : $b = 127$, binary64 : $b = 1023$, binary128 : $b = 16383$) ;
- écriture dans l'ordre (signe, exposant biaisé, mantisse) → comparaison lexicographique, comme pour des entiers, et passage au successeur par incrémentation entière.

Exposants réservés

- la plage d'exposants "normaux" utilisables est de
 - ▶ -126 à $+127$ (biaisé : 1 à 254) en binary32,
 - ▶ -1022 à $+1023$ (biaisé : 1 à 2046) en binary64,
 - ▶ -16382 à $+16383$ (biaisé : 1 à 32766) en binary128;
 - l'exposant tient sur 8 bits (binary32), 11 bits (binary64), ou 15 bits (binary128);
- on peut représenter les entiers de 0 à 255 (binary32), 0 à 1023 (binary64), ou 0 à 32767 (binary128). Les valeurs extrêmes sont réservées :
- ▶ l'exposant biaisé 0 code 0 et les dénormalisés.
 - ▶ l'exposant maximum (255 ou 1023 ou 32767 → rien que des "1") code les valeurs spéciales $\pm\infty$ et NaN.

Exposants réservés

- l'exposant biaisé 0 code 0 et les dénormalisés.
- l'exposant maximum (255 ou 1023 ou 32767 → rien que des "1") code les valeurs spéciales $\pm\infty$ et NaN.

-0	1	00000000	000000000000000000000000
+0	0	00000000	000000000000000000000000
$-\infty$	1	11111111	000000000000000000000000
$+\infty$	0	11111111	000000000000000000000000
NaN	0	11111111	chaîne non nulle
5	0	10000001	010000000000000000000000

Arrondi correct

En général, la somme, le produit, etc. de deux nombres VF n'est pas un nombre VF \rightarrow nécessité de l'**arrondir**.

Définition 1 (Arrondi correct)

Fonction d'arrondi $x \mapsto \circ(x)$ parmi :

- **RN** (x) : **au plus près** (défaut) s'il y en a deux :
 - ▶ *round ties to even* : celui dont la mantisse entière est paire ;
 - ▶ *round ties to away* : (2008 – recomm. en base 10 seulement) celui de plus grande valeur absolue.
- **RU** (x) : vers $+\infty$.
- **RD** (x) : vers $-\infty$.
- **RZ** (x) : vers zéro.

Une opération dont les entrées sont des nombres VF doit retourner ce qu'on obtiendrait en arrondissant le résultat exact.

Arrondi correct

IEEE-754-1985 : **Arrondi correct** pour $+$, $-$, \times , \div , $\sqrt{\quad}$ et certaines conversions. Avantages :

- si le résultat d'une opération est exactement représentable, on l'obtient ;
- si on n'utilise que $+$, $-$, \times , \div et $\sqrt{\quad}$, et si l'ordre des opérations ne change pas, l'arithmétique est **déterministe** : on peut élaborer des **algorithmes** et des **preuves** qui utilisent ces spécifications ;
- précision et portabilité améliorées ;
- en jouant avec les arrondis vers $+\infty$ et $-\infty \rightarrow$ bornes **certaines** sur le résultat d'un calcul.

L'arithmétique VF devient une *structure mathématique en elle même*, que l'on peut étudier.

IEEE-754-2008 : l'arrondi correct est recommandé (mais pas exigé) pour les principales fonctions mathématiques (\cos , \exp , \log , ...)

Arrondi correct

- l'arrondi correct garantit que l'addition et la multiplication virgule flottante sont commutatives. Pour toute fonction d'arrondi \circ :

$$\circ(a + b) = \circ(b + a)$$

- par contre l'associativité n'est pas conservée. Exemple : $a = \beta^{p+1}$, $b = -a$, et $c = 1$, donne

$$\text{RN}(a + \text{RN}(b + c)) = 0$$

et

$$\text{RN}(\text{RN}(a + b) + c) = 1.$$

la perte d'associativité est plus "douce" pour la multiplication, **sauf en cas de dépassements**.

- la distributivité n'est pas préservée non plus.

Erreur relative, unité d'arrondi et "modèle standard"

- Pour simplifier : **base 2**,
- précision p ,
- **unité d'arrondi** $u = 2^{-p}$ si arrondi au + près, 2^{-p+1} avec les autres fonctions d'arrondi,
- si x et y sont des nombres VF, et si $\text{op} \in \{+, -, \times, /\}$, alors en l'absence d'overflow **et d'underflow**,

$$\text{RN}(x \text{ op } y) = (x \text{ op } y)(1 + \epsilon_1) \quad (1a)$$

$$= (x \text{ op } y)/(1 + \epsilon_2), \quad |\epsilon_1|, |\epsilon_2| \leq u. \quad (1b)$$

Erreur relative, unité d'arrondi et "modèle standard"

Le modèle standard est très utile pour analyser les algorithmes numériques.

Exemple 1 :

- binary64 (base 2, $p = 53$), et fonction d'arrondi RN ;
- on veut calculer $x_1 \cdot x_2 \cdot x_3 \cdot \dots \cdot x_n$ par l'algorithme :

```
P ← x1
for i = 2 to n do
  P ← RN (P × xi)
end for
```

la valeur finale de P vérifie $P = x_1 x_2 x_3 \dots x_n \times K$, où

$$(1 - 2^{-p})^{n-1} \leq K \leq (1 + 2^{-p})^{n-1},$$

l'erreur relative est donc majorée par $(1 + 2^{-p})^{n-1} - 1$. Pour $n = 500$, donnera 1.108×10^{-13} .

Erreur relative, unité d'arrondi et "modèle standard"

Exemple 2 (somme "naïve") : $a_1 + a_2 + \dots + a_n$ approché par

$$\sigma = \text{RN}(\dots \text{RN}(\text{RN}(\text{RN}(a_1 + a_2) + a_3) + a_4) + \dots + a_n).$$

Base 2 et précision p . On rappelle que $u = 2^{-p}$. En définissant

$$\gamma_n = \frac{nu}{1 - nu},$$

on trouve

$$\left| \sigma - \sum_{i=1}^n a_i \right| \leq \gamma_{n-1} \sum_{i=1}^n |a_i|. \quad (2)$$

Résultats similaires pour produit scalaire, évaluation de polynômes par le schéma de Horner, etc.

Mais le modèle standard ne fait pas tout

- on oublie que le résultat d'une opération est complètement déterminé,
- on n'utilise pas le fait que certaines opérations sont en fait exactes,
- on perd certaines propriétés telles que la préservation de la commutativité de $+$ et \times ;

→ **incapacité à capter des comportements subtils**, comme dans

$$s = a + b ; z = s - a ; r = b - z$$

et beaucoup d'autres.

Premier exemple : lemme de Sterbenz

Lemme 1 (Sterbenz)

Base β , avec nombres sous-normaux disponibles. Soient a et b deux nombres VF positifs. Si

$$\frac{a}{2} \leq b \leq 2a$$

alors $a - b$ est un nombre VF.

→ Il est calculé exactement dans n'importe lequel des 4 modes d'arrondi.

Preuve : élémentaire en utilisant la notation $x = M \times \beta^{e+1-p}$.

Erreur de l'addition VF (Møller, Knuth, Dekker)

Premier résultat : représentabilité. $RN(x) = x$ arrondi au plus près.

Lemme 2

Soient a et b deux nombres VF. Soient

$$s = RN(a + b)$$

et

$$r = (a + b) - s.$$

s'il n'y a pas de dépassement de capacité en calculant s , alors r est un nombre VF.

Erreur de l'addition VF (Møller, Knuth, Dekker)

Démonstration : Supposons $|a| \geq |b|$,

- 1 s est "le" nombre VF le plus proche de $a + b$ → il est plus près de $a + b$ que a ne l'est. Donc $|(a + b) - s| \leq |(a + b) - a|$, par conséquent

$$|r| \leq |b|.$$

- 2 posons $a = M_a \times \beta^{e_a - p + 1}$ et $b = M_b \times \beta^{e_b - p + 1}$, avec $|M_a|, |M_b| \leq \beta^p - 1$, et $e_a \geq e_b$.
 $a + b$ est multiple de $\beta^{e_b - p + 1} \Rightarrow s$ et r sont multiples de $\beta^{e_b - p + 1}$ également $\Rightarrow \exists R \in \mathbb{Z}$ t.q.

$$r = R \times \beta^{e_b - p + 1}$$

mais $|r| \leq |b| \Rightarrow |R| \leq |M_b| \leq \beta^p - 1 \Rightarrow r$ est un nombre VF.

Obtenir r : l'algorithme fast2sum (Dekker)

Théorème 1 (Fast2Sum (Dekker))

$\beta \leq 3$. Soient a et b des nombres VF dont les exposants vérifient $e_a \geq e_b$ (si $|a| \geq |b|$, OK). Algorithme suivant : s et r t.q.

- $s + r = a + b$ exactement ;
- s est "le" nombre VF le plus proche de $a + b$.

Algorithme 1 (FastTwoSum)

```
s ← RN(a + b)
z ← RN(s - a)
r ← RN(b - z)
```

Programme C 1

```
s = a+b;
z = s-a;
r = b-z;
```

Se méfier des compilateurs "optimisants".

Preuve dans un cas simplifié : $\beta = 2$ et $|a| \geq |b|$

$$\begin{aligned}s &= \text{RN}(a + b) \\ z &= \text{RN}(s - a) \\ t &= \text{RN}(b - z)\end{aligned}$$

- si a et b sont de même signe, alors $|a| \leq |a + b| \leq |2a|$ donc (base 2 \rightarrow $2a$ représentable, arrondi croissant) $|a| \leq |s| \leq |2a| \rightarrow$ (Lemme Sterbenz) $z = s - a$. Comme $r = (a + b) - s$ est représentable et $b - z = r$, on trouve $\text{RN}(b - z) = r$.
- si a et b sont de signes opposés, alors
 - 1 soit $|b| \geq \frac{1}{2}|a|$, auquel cas (lemme Sterbenz) $a + b$ est exact, donc $s = a + b$, $z = b$ et $t = 0$;
 - 2 soit $|b| < \frac{1}{2}|a|$, auquel cas $|a + b| > \frac{1}{2}|a|$, donc $s \geq \frac{1}{2}|a|$ (base 2 \rightarrow $\frac{1}{2}a$ est représentable, et l'arrondi est croissant), donc (lemme Sterbenz) $z = \text{RN}(s - a) = s - a = b - r$. Comme $r = (a + b) - s$ est représentable et $b - z = r$, on trouve $\text{RN}(b - z) = r$.

Algorithme TwoSum (Møller-Knuth)

- pas besoin de comparer a et b ;
- 6 opérations au lieu de 3 \rightarrow moins cher qu'une mauvaise **prédiction de branchement** en comparant a et b .

Algorithme 2 (TwoSum)

```
 $s \leftarrow RN(a + b)$   
 $a' \leftarrow RN(s - b)$   
 $b' \leftarrow RN(s - a')$   
 $\delta_a \leftarrow RN(a - a')$   
 $\delta_b \leftarrow RN(b - b')$   
 $r \leftarrow RN(\delta_a + \delta_b)$ 
```

Knuth : $\forall \beta$, en absence d'underflow et d'overflow $a + b = s + r$, et s est le nombre VF le plus proche de $a + b$.

Boldo et al : (preuve formelle) en base 2, marche même si underflow.

Preuves formelles (en Coq) d'algorithmes similaires très pratiques :
<http://lipforge.ens-lyon.fr/www/pff/Fast2Sum.html>.

TwoSum est optimal

Supposons qu'un algorithme vérifie :

- pas de tests, ni d'instructions min/max ;
- seulement des additions/soustractions arrondies au + près : à l'étape i , on calcule $RN(u + v)$ ou $RN(u - v)$, où u et v sont des variables d'entrée ou des valeurs précédemment calculées.

Si cet algorithme retourne toujours les mêmes résultats que 2Sum, alors il nécessite au moins 6 additions/soustractions (i.e., autant que 2Sum).

- **preuve** : **most inelegant proof award** ;
- 480756 algorithmes avec 5 opérations (après suppression des symétries les plus triviales) ;
- chacun d'entre eux essayé avec 2 valeurs d'entrée bien choisies.

Revenons au calcul de sommes

Compensated summation (Kahan) pour approcher $x_1 + x_2 + \dots + x_n$.

Algorithme 3

```
s ← x1
c ← 0
for i = 2 to n do
  y ← RN(xi - c)
  t ← RN(s + y)
  c ← RN(RN(t - s) - y)
  s ← t
end for
return s
```

Additionner n nombres : compensated summation (Kahan)

Le même, réécrit avec des Fast2Sum.

Algorithme 4

```
s ← x1
c ← 0
for i = 2 to n do
  y ← o(xi + c)
  (s, c) ← Fast2Sum(s, y)
end for
return s
```

→ variante de l'algorithme naïf, où à chaque pas **on ré-injecte l'erreur de l'addition précédente.**

Algorithme 5

```

s ← x1
e ← 0
for i = 2 to n do
  (s, ei) ← 2Sum(s, xi)
  e ← RN(e + ei)
end for
return RN(s + e)

```

→ variante de l'algorithme naïf, où à chaque pas **on accumule les erreurs des additions** pour les rajouter à la fin.

Pichat, Ogita, Rump, Oishi

On rappelle que $\mathbf{u} = 2^{-p}$ (base 2 et précision p), et que

$$\gamma_n = \frac{n\mathbf{u}}{1 - n\mathbf{u}}.$$

Théorème 2 (Ogita, Rump et Oishi)

En appliquant l'algorithme de P., O., R., et O. à x_i , $1 \leq i \leq n$, et si $n\mathbf{u} < 1$, alors, même en cas d'underflow (mais sans overflow), le résultat final retourné par l'algorithme, σ , satisfait

$$\left| \sigma - \sum_{i=1}^n x_i \right| \leq \mathbf{u} \left| \sum_{i=1}^n x_i \right| + \gamma_{n-1}^2 \sum_{i=1}^n |x_i|.$$

Table: Erreurs de diverses méthodes pour $x_i = \text{RN}(1/i)$ – donc tous les x_i sont exactement représentables – en arithmétique Binary32 et $n = 100,000$.

méthode	erreur en ulps
ordre croissant	6.86
ordre décroissant	738.9
compensated (Kahan)	0.137
Pichat ; ou Rump, Ogita & Oishi	0.137

Table: Erreurs de diverses méthodes pour $x_i = \text{RN}(\cos(i))$ – donc tous les x_i sont exactement représentables – en arithmétique Binary32 et $n = 5000$.

méthode	erreur en ulps
increasing order	18.90625
decreasing order	16.90625
compensated (Kahan)	6.90625
Pichat ; or Ogita, Rump and Oishi	0.09375

Une autre propriété (Kahan)

$$z = \frac{x}{\sqrt{x^2 + y^2}}$$

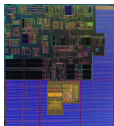
- arrondi correct, arrondi au plus près, base 2 ; pas d'overflow/underflow.
- x et y sont des nombres VF,

La valeur calculée de z est comprise au sens large entre -1 et $+1$.

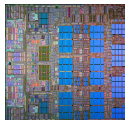
- Propriété importante car jugée (naïvement!) évidente par la plupart des programmeurs, qui pourront par exemple calculer une fonction de z définie seulement entre -1 et $+1$.
- Le programmeur expérimenté de 2012 rejoint le programmeur naïf de 1980 !

Et les produits ?

- **FMA** : *fused multiply-add* (fma), calcule RN($ab + c$). RS6000, PowerPC Itanium, Bulldozer, Haswell. Spécifié dans IEEE 754-2008
- si a et b sont des nombres VF, alors $r = ab - \text{RN}(ab)$ est un nombre VF ;
- obtenu par l'algorithme **TwoMultFMA** $\begin{cases} p = \text{RN}(ab) \\ r = \text{RN}(ab - p) \end{cases} \rightarrow 2$ opérations seulement. $p + r = ab$.
- sans fma, **algorithme de Dekker** : 17 opérations ($7 \times, 10 \pm$).



Itanium 2



PowerPC 5

$ad - bc$ "naïf" avec un fma

- on a envie de calculer $\hat{w} = \text{RN}(bc)$;
- puis (avec un fma), $\hat{x} = \text{RN}(ad - \hat{w})$.

peut être **catastrophique** (bien pire que de faire $\text{RN}(\text{RN}(ad) - \text{RN}(bc))$).
En effet, considérons le cas :

- $a = b$, et $c = d$;
- ad n'est pas exactement représentable en VF : $\hat{w} = \text{RN}(ad) \neq ad$.

On aura :

- la valeur exacte de $x = ad - bc$ est nulle ;
- $\hat{x} \neq 0$,

→ l'erreur relative $|\hat{x} - x|/|x|$ est **infinie**.

$ad - bc$ précis avec un fma (base 2)

Algorithme de Kahan pour $x = ad - bc$:

$\hat{w} \leftarrow \text{RN}(bc)$
 $e \leftarrow \text{RN}(\hat{w} - bc)$
 $\hat{f} \leftarrow \text{RN}(ad - \hat{w})$
 $\hat{x} \leftarrow \text{RN}(\hat{f} + e)$
Retourner \hat{x}

- avec le "modèle standard" :

$$|\hat{x} - x| \leq J|x|$$

où $J = 2u + u^2 + (u + u^2)u \frac{|bc|}{|x|} \rightarrow$ précis
tant que $u|bc| \not\gg |x|$

- en utilisant les propriétés de RN
(Jeannerod, Louvet, M., 2011)

$$|\hat{x} - x| \leq 2u|x|$$

$$u = 2^{-p}$$

asymptotiquement optimal.

→ \times et \div complexes.

Erreur d'un FMA

- En collaboration avec Sylvie Boldo (2005);
- $\beta = 2$, $p \geq 3$, fma, ni underflow ni overflow;
- a, x, y : nombres VF;
- un fma calcule $r_1 = \text{RN}(ax + y)$;
- **Deux questions** :
 - ▶ combien faut-il de nombres VF pour représenter $r_1 - (ax + y)$?
 - ▶ peut-on les calculer facilement?
- **Réponses** :
 - ▶ deux nombres;
 - ▶ il faut 19 opérations (1 TwoMultFMA, 2 TwoSum, 2 additions, 1 FastTwoSum);
 - ▶ **Je n'avais aucune confiance en notre preuve** avant que Sylvie Boldo la transcrive en Coq.

Peut servir à faire des “évaluations de polynômes compensées”.

L'algorithme de Malcolm-Gentleman

Arithmétique VF de base β . Fonction d'arrondi $\circ \in \{\text{RN}, \text{RU}, \text{RD}, \text{RZ}\}$.

Algorithme 6

```
A ← 1.0
B ← 1.0
while  $\circ(\circ(A + 1.0) - A) = 1.0$  do
  A ←  $\circ(2 \times A)$ 
end while
while  $\circ(\circ(A + B) - A) \neq B$  do
  B ←  $\circ(B + 1.0)$ 
end while
return B
```

Cet algorithme calcule β

- Base β , précision p , $A_i = A$ après i ème passage dans le 1er while ;
- Récurrence \rightarrow si $2^i \leq \beta^p - 1$, alors $A_i = 2^i$ exactement. Donne $A_i + 1 \leq \beta^p \rightarrow \circ(A_i + 1.0) = A_i + 1$.
- On en déduit $\circ(\circ(A_i + 1.0) - A_i) = \circ((A_i + 1) - A_i) = 1$. Donc **tant que $2^i \leq \beta^p - 1$, on reste dans la 1ère boucle.**
- Considérons le plus petit j t.q. $2^j \geq \beta^p$. On a $A_j = \circ(2A_{j-1}) = \circ(2 \times 2^{j-1}) = \circ(2^j)$. Comme $\beta \geq 2$, on déduit

$$\beta^p \leq A_j < \beta^{p+1}.$$

- Donc le successeur VF de A_j est $A_j + \beta \rightarrow \circ(A_j + 1.0)$ vaudra soit A_j soit $A_j + \beta$ donc $\circ(\circ(A_j + 1.0) - A_j)$ vaudra 0 ou β : dans tous les cas, il sera $\neq 1.0 \rightarrow$ on quitte la boucle.

Donc à la fin de la 1ère boucle while, A vérifie $\beta^p \leq A < \beta^{p+1}$.

Considérons la 2ème boucle **while**.

- On a vu que le successeur VF de A est $A + \beta$.
- Donc tant que $B < \beta$, $\circ(A + B)$ vaut soit A soit $A + \beta \rightarrow \circ(\circ(A + B) - A)$ vaut 0 ou β : dans les 2 cas on reste dans la boucle.
- Dès que $B = \beta$, $\circ(A + B)$ vaut exactement $A + B$, donc $\circ(\circ(A + B) - A) = B$.

On quitte donc la 2ème boucle dès que $B = \beta$

Les erreurs les plus dangereuses sont idiotes

- la sonde Mars Climate Orbiter s'est écrasée sur Mars en 1999 ;
- une partie des développeurs des logiciels supposait que l'unité de mesure était **le mètre** ;
- l'autre partie croyait que c'était **le pied**.



Donc tout va pour le mieux dans le meilleur des mondes. . .

- arrondi correct → arithmétique "déterministe" ;
- on calcule facilement l'erreur d'une addition ou multiplication VF ;
- on peut "ré-injecter" cette erreur plus tard → **sommes, produits scalaires, évaluations de polynômes, . . . précis**
- déjà de nombreux tels algorithmes **compensés**, sûrement d'autres à venir.

. . . sauf que la vie n'est pas si simple !

Arithmétique déterministe ?

Programme C :

```
double a = 1848874847.0;
double b = 19954562207.0;
double c;
c = a * b;
printf("c = %20.19e\n", c);
return 0;
```

Selon l'environnement, [3.6893488147419103232e+19](#) ou [3.6893488147419111424e+19](#) (nombre Binary64 le plus proche du résultat exact).

Arithmétique déterministe ?

option de compilation gcc	résultat
par défaut	$c = 3.6893488147419103232e+19$
-mfpmath=387	$c = 3.6893488147419103232e+19$
-march=pentium4 -mfpmath=sse	$c = 3.6893488147419111424e+19$

Table: Résultats sur plateforme Linux/Debian Etch 32-bit Intel, avec gcc 4.1.2 20061115. Le défaut est d'utiliser les registres 387.

Note : le "bon résultat" est $3.6893488147419111424e+19$.

Est-ce un problème ?

- Dans la plupart des applications, **sans incidence** ;
- peut rendre le résultat de programmes numériques **difficile à prédire** (exemples intéressants dûs à Monniaux) ;
- la plupart des compilateurs permettent de s'affranchir du problème. Cependant,
 - ▶ parfois mal documenté ;
 - ▶ restriction à la portabilité ;
 - ▶ impact possible sur la vitesse et la précision

→ voir quelles propriétés restent variées en présence de doubles arrondis (par exemple : quels algorithmes de sommation continuent à être très précis).

Pas de problème avec les instructions SSE, et IEEE 754-2008 améliore la situation.

Exemple : 2Sum et doubles arrondis

Format cible de précision p ; format plus large de précision $p + p'$.

Algorithme 7 (2Sum-with-double-roundings(a, b))

- (1) $s \leftarrow RN_p(RN_{p+p'}(a + b))$ or $RN_p(a + b)$
- (2) $a' \leftarrow RN_p(RN_{p+p'}(s - b))$ or $RN_p(s - b)$
- (3) $b' \leftarrow \circ(s - a')$
- (4) $\delta_a \leftarrow RN_p(RN_{p+p'}(a - a'))$ or $RN_p(a - a')$
- (5) $\delta_b \leftarrow RN_p(RN_{p+p'}(b - b'))$ or $RN_p(b - b')$
- (6) $t \leftarrow RN_p(RN_{p+p'}(\delta_a + \delta_b))$ or $RN_p(\delta_a + \delta_b)$

$\circ(u)$: $RN_p(u)$, $RN_{p+p'}(u)$, or $RN_p(RN_{p+p'}(u))$, ou n'importe quel "arrondi fidèle".

Exemple : 2Sum et doubles arrondis

Théorème 2

$p \geq 4$ et $p' \geq 2$. Si a et b sont des nombres VF de précision p , en l'absence d'overflow, l'algorithme ?? vérifie $t = RN_p(a + b - s)$.

- de nombreuses propriétés restent vraies ou ne demandent que peu de modifications ;
- suivre les travaux de Sylvie Boldo (<http://www.lri.fr/~sboldo/>), sur des preuves "hardware-independent" de programmes.

ULP : Unit in the Last Place

Base β , précision p . Dans ce qui suit, x est un réel, et X un nombre VF censé l'approcher.

Définition 3

Si $x \in [\beta^e, \beta^{e+1})$ alors $\text{ulp}(x) = \beta^{\max(e, e_{\min}) - p + 1}$.

En gros :

- distance entre 2 nombres VF au voisinage de x .
- arrondi au + près \simeq erreur majorée par $1/2 \text{ulp}$.

Propriété 1

En base 2,

$$|X - x| < \frac{1}{2} \text{ulp}(x) \Rightarrow X = \text{RN}(x).$$

Pas vrai en base ≥ 3 . Pas vrai non plus (même en base 2) si on remplace $\text{ulp}(x)$ par $\text{ulp}(X)$.

Propriété 2

Dans n'importe quelle base,

$$X = \text{RN}(x) \Rightarrow |X - x| \leq \frac{1}{2} \text{ulp}(x).$$

Division par itération de Newton-Raphson avec un FMA

Version simplifiée d'un algorithme utilisé sur l'Itanium d'Intel/HP. Précision p , base 2. Ici : $1/b$ seulement, où $1 \leq b < 2$ (mantisses).

- **Itération de Newton-Raphson** pour calculer $1/b$:
 $y_{n+1} = y_n - f(y_n)/f'(y_n)$, où $f(y) = 1/y - b$, ce qui donne

$$y_{n+1} = y_n(2 - by_n)$$

- $y_0 \approx 1/b$ obtenu par lecture dans une table adressée par les premiers (typiquement de 6 à 10) bits de b ;
- l'itération de NR est décomposée en 2 instructions FMA :

$$\begin{cases} e_n &= \text{RN}(1 - by_n) \\ y_{n+1} &= \text{RN}(y_n + e_n y_n) \end{cases}$$

Noter que $e_{n+1} \approx e_n^2$.

Propriété 3

Si

$$\left| \frac{1}{b} - y_n \right| < \alpha 2^{-k},$$

où $1/2 < \alpha \leq 1$ et $k \geq 1$, alors

$$\begin{aligned} \left| \frac{1}{b} - y_{n+1} \right| &< b \left(\frac{1}{b} - y_n \right)^2 + 2^{-k-p} + 2^{-p-1} \\ &< 2^{-2k+1} \alpha^2 + 2^{-k-p} + 2^{-p-1} \end{aligned}$$

⇒ il semble qu'on peut s'approcher arbitrairement près de 2^{-p-1} (i.e., $1/2 \text{ulp}(1/b)$), **sans pouvoir montrer une borne inférieure à $1/2 \text{ulp}(1/b)$.**

Exemple : double précision du standard IEEE-754

Supposons $p = 53$ et $|y_0 - 1/b| < 2^{-8}$ (petite table), on trouve

- $|y_1 - 1/b| < 0.501 \times 2^{-14}$
- $|y_2 - 1/b| < 0.51 \times 2^{-28}$
- $|y_3 - 1/b| < 0.57 \times 2^{-53} = 0.57 \text{ulp}(1/b)$

Aller plus loin ?

Propriété 4

Si y_n approche $1/b$ avec une erreur $< 1 \text{ulp}(1/b) = 2^{-p}$, alors, puisque b est un multiple de 2^{-p+1} et y_n est un multiple de 2^{-p} , $1 - by_n$ est un multiple de 2^{-2p+1} .

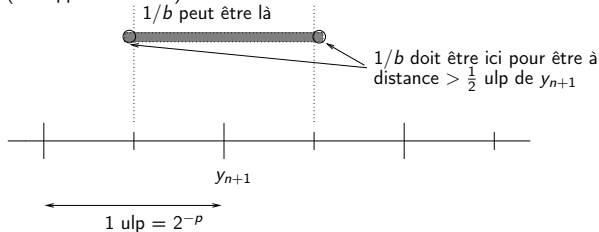
Mais $|1 - by_n| < 2^{-p+1} \rightarrow 1 - by_n$ est un nombre VF de précision p
→ **calculé exactement avec un FMA.**

$$\Rightarrow \left| \frac{1}{b} - y_{n+1} \right| < b \left(\frac{1}{b} - y_n \right)^2 + 2^{-p-1}.$$

$$\left| y_n - \frac{1}{b} \right| < \alpha 2^{-p} \Rightarrow \left| y_{n+1} - \frac{1}{b} \right| < b\alpha^2 2^{-2p} + 2^{-p-1}$$

(en supposant $\alpha < 1$)

$1/b$ peut être là



Qu'en déduit-on ?

- pour être à distance $> 1/2$ ulp de y_{n+1} , $1/b$ doit être à moins de $b\alpha^2 2^{-2p} < b2^{-2p}$ du milieu de 2 nombres VF consécutifs ;
- la distance entre y_n et $1/b$ doit donc être de la forme $2^{-p-1} + \epsilon$, avec $|\epsilon| < b2^{-2p}$;
- implique $\alpha < \frac{1}{2} + b2^{-p}$ et donc

$$\left| y_{n+1} - \frac{1}{b} \right| < \left(\frac{1}{2} + b2^{-p} \right)^2 b2^{-2p} + 2^{-p-1}$$

- donc, pour être à distance $> 1/2$ ulp de y_{n+1} , $1/b$ doit être à moins de $(\frac{1}{2} + b2^{-p})^2 b2^{-2p}$ du milieu de 2 nombres VF consécutifs.

- b est un nombre VF entre 1 et 2 $\Rightarrow b = B/2^{p-1}$ où $B \in \mathbb{N}$, $2^{p-1} < B \leq 2^p - 1$;
- le milieu de 2 nombres VF consécutifs au voisinage de $1/b$ est de la forme $g = (2G + 1)/2^{p+1}$ où $G \in \mathbb{N}$, $2^{p-1} \leq G < 2^p - 1$;
- on en déduit

$$\left| g - \frac{1}{b} \right| = \left| \frac{2BG + B - 2^{2p}}{B \cdot 2^{p+1}} \right|$$

- la distance entre $1/b$ et le milieu de 2 nombres VF consécutifs est un multiple non nul de $1/(B \cdot 2^{p+1}) = 2^{-2p}/b$.

Distance entre $\frac{1}{b}$ et g , quand $\left| \frac{1}{b} - y_{n+1} \right| > \frac{1}{2} \text{ulp} \left(\frac{1}{b} \right)$

- est de la forme $k2^{-2p}/b$, $k \in \mathbb{Z}$, $k \neq 0$;
- on doit avoir

$$\frac{|k| \cdot 2^{-2p}}{b} < \left(\frac{1}{2} + b2^{-p} \right)^2 b2^{-2p}$$

donc

$$|k| < \left(\frac{1}{2} + b2^{-p} \right)^2 b^2$$

- comme $b < 2$, dès que $p \geq 4$, la seule solution est $|k| = 1$;
- de plus, pour $|k| = 1$, des manipulations élémentaires montrent que la seule solution est

$$b = 2 - 2^{-p+1}.$$

Comment procède-t-on ?

- on veut

$$\begin{aligned}B &= 2^p - 1, \\ 2^{p-1} &\leq G \leq 2^p - 1 \\ B(2G + 1) &= 2^{2p} \pm 1\end{aligned}$$

Une seule solution : $B = 2^p - 1$ et $G = 2^{p-1}$: vient de $2^{2p} - 1 = (2^p - 1)(2^p + 1)$;

- à l'exception de ce B (et donc de la valeur correspondante $b = B/2^{p-1}$ de b), on est certains que $y_{n+1} = \text{RN}(1/b)$;
- pour $B = 2^p - 1$: on essaye l'algorithme avec les 2 valeurs de y_n à moins de 1 ulp de $1/b$ (i.e. $1/2$ et $1/2 + 2^{-p}$). En pratique, marche (sinon : trucs "sales").

Application : double précision ($p = 53$)

On part de y_0 tel que $|y_0 - \frac{1}{b}| < 2^{-8}$. On calcule :

$$\begin{aligned}e_0 &= \text{RN}(1 - by_0) \\ y_1 &= \text{RN}(y_0 + e_0y_0) \\ e_1 &= \text{RN}(1 - by_1) \\ y_2 &= \text{RN}(y_1 + e_1y_1) \\ e_2 &= \text{RN}(1 - by_1) \\ y_3 &= \text{RN}(y_2 + e_2y_2) \quad \text{error} \leq 0.57 \text{ ulps} \\ e_3 &= \text{RN}(1 - by_2) \\ y_4 &= \text{RN}(y_3 + e_3y_3) \quad \text{1/b arrondi au plus près}\end{aligned}$$

En pratique : deux itérations

Itérations de Markstein

$$\begin{cases} e_n &= \text{RN}(1 - by_n) \\ y_{n+1} &= \text{RN}(y_n + e_n y_n) \end{cases}$$

Plus précise ("auto-correctrice"), séquentielle

Itérations de Goldschmidt

$$\begin{cases} e_{n+1} &= \text{RN}(e_n^2) \\ y_{n+1} &= \text{RN}(y_n + e_n y_n) \end{cases}$$

Moins précis, plus rapide (parallèle)

En pratique : on commence avec des itérations de Goldschmidt, et on passe à des itérations de Markstein pour les derniers pas.

Le tableau de la honte

Système	$\sin(10^{22})$
résultat exact	-0.8522008497671888017727 ...
HP 48 GX	-0.852200849762
HP 700	0.0
HP 375, 425t (4.3 BSD)	-0.65365288 ...
matlab V.4.2 c.1 pour Macintosh	0.8740
matlab V.4.2 c.1 pour SPARC	-0.8522
Silicon Graphics Indy	0.87402806 ...
SPARC	-0.85220084976718879
IBM RS/6000 AIX 3005	-0.852200849 ...
DECstation 3100	NaN
Casio fx-8100, fx180p, fx 6910 G	Error
TI 89	Trig. arg. too large

Jusqu'à août 2008, fonctions « élémentaires » non normalisées.

Le tableau de la honte

Système	$\sin(10^{22})$
résultat exact	-0.8522008497671888017727 ...
HP 48 GX	-0.852200849762
HP 700	0.0
HP 375, 425t (4.3 BSD)	-0.65365288 ...
matlab V.4.2 c.1 pour Macintosh	0.8740
matlab V.4.2 c.1 pour SPARC	-0.8522
Silicon Graphics Indy	0.87402806 ...
SPARC	-0.85220084976718879
IBM RS/6000 AIX 3005	-0.852200849 ...
DECstation 3100	NaN
Casio fx-8100, fx180p, fx 6910 G	Error
TI 89	Trig. arg. too large

Jusqu'à août 2008, fonctions « élémentaires » non normalisées.

Le tableau de la honte

Système	$\sin(10^{22})$
résultat exact	-0.8522008497671888017727 ...
HP 48 GX	-0.852200849762
HP 700	0.0
HP 375, 425t (4.3 BSD)	-0.65365288 ...
matlab V.4.2 c.1 pour Macintosh	0.8740
matlab V.4.2 c.1 pour SPARC	-0.8522
Silicon Graphics Indy	0.87402806 ...
SPARC	-0.85220084976718879
IBM RS/6000 AIX 3005	-0.852200849 ...
DECstation 3100	NaN
Casio fx-8100, fx180p, fx 6910 G	Error
TI 89	Trig. arg. too large

Jusqu'à août 2008, fonctions « élémentaires » non normalisées.

Table: Pires cas pour les logarithmes de nombres double précision.

Interval	worst case (binary)
[2 ⁻¹⁰⁷⁴ , 1)	log(1.1110101001110001110110000101110011101110000000100000 × 2 ⁻⁵⁰⁹) = -101100000.00101001011010100110011010110100001011111111 1 1 ⁵⁰ 0000...
	log(1.1001010001110110111000110000010011001101011111000111 × 2 ⁻³⁸⁴) = -100001001.10110110000011001010111101000111101100110101 1 0 ⁶⁰ 1010...
	log(1.00100110111010011100010011010011001100111100101100000 × 2 ⁻²³²) = -10100000.101010110010110000100101111001101000010000100 0 0 ⁶⁰ 1001...
	log(1.0110000100111001010101011101110010000000001011111000 × 2 ⁻³⁵) = -10111.11110000001011110011011101011110110000000110101 0 1 ⁶⁰ 0011...
(1, 2 ¹⁰²⁴]	log(1.0110001010101000100001100001001101100010100110110110 × 2 ⁹⁷⁸) = 111010110.0100011110011110101110100111100100101110001 0 0 ⁶⁴ 1110...

Conclusion

- l'arrondi correct des fonctions les plus communes est faisable à coût raisonnable ;
- recommandé dans la norme IEEE 754-2008 (juin 2008) ;
- **bibliothèque CRLIBM** disponible à <https://lipforge.ens-lyon.fr/projects/crlibm/>

Quelques logiciels utiles

- CRLIBM : fonctions mathématiques avec arrondi correct.
<http://lipforge.ens-lyon.fr/projects/crlibm/>
La documentation qui explique les méthodes utilisées est à <http://lipforge.ens-lyon.fr/frs/download.php/41/crlibm-0.10.pdf>
- GAPPA : outil de vérifications de propriétés VF (p.ex. bornes) et de génération de preuves formelles.
<http://lipforge.ens-lyon.fr/www/gappa/>
- MPFR : arithmétique multi-précision avec arrondi correct.
<http://www.mpfr.org/>
- MPFI (basé sur MPFR) : arith. d'intervalles multi-précision.
<http://perso.ens-lyon.fr/nathalie.revol/software.html>
- PARI/GP : calculs rapides en arithmétique (factorisations, théorie algébrique des nombres, courbes elliptiques. . .).
<http://pari.math.u-bordeaux.fr/>

Tester votre environnement virgule flottante

- PARANOIA (W. Kahan et ses élèves) :
<http://www.netlib.org/paranoia/>
- UCB Test (plus récent, plus complet) :
<http://www.netlib.org/fp/ucbtest.tgz>
- MPCHECK : test des fonctions mathématiques :
<http://www.loria.fr/~zimmerma/free/>
- méthodes de recherches de "cas difficiles" pour les opérateurs arithmétiques : John Harrison (factorisation), Michael Parks (remontée de Hensel) ;

La virgule flottante sur le web

- le site de W. Kahan (père de la norme IEEE 754, de l'arithmétique du 8087 et de la HP35) :
<http://http.cs.berkeley.edu/~wkahan/>
- le site de D. Hough sur la révision de la norme
<http://www.validlab.com/754R/>
- l'article de Goldberg "What every computer scientist should know about Floating-Point arithmetic"
<http://www.validlab.com/goldberg/paper.pdf>
- l'équipe AriC du LIP (ENS Lyon)
<http://www.ens-lyon.fr/LIP/AriC/>
- l'équipe Pequan du LIP6 (Paris 6)
<http://www.lip6.fr/recherche/team.php?id=120>
- l'équipe CACAO du Loria (Nancy)
<http://www.loria.fr/equipes/cacao/>
- ma propre page
<http://perso.ens-lyon.fr/jean-michel.muller/>

Une minute de pub



Michael Overton

Numerical Computing with IEEE Floating Point Arithmetic

Siam, 2001



Bo Einarsson

Accuracy and Reliability in Scientific Computing

Siam, 2005



Jean-Michel Muller

Elementary Functions, algorithms and implementation, 2ème édition

Birkhauser Boston, 2006



Brisebarre, de Dinechin, Jeannerod, Lefèvre, Melquiond, Muller (coordinator), Revol, Stehlé and Torres

A Handbook of Floating-Point Arithmetic

Birkhauser Boston, 2010.